

FILTRI IN BASSA FREQUENZA

I filtri a microonde vengono in genere costruiti a partire da un prototipo in banda frequenza (e quindi a costanti concentrate) che viene poi trasformato in un circuito a microonde.

Pertanto esaminiamo dapprima il progetto di filtri LC.

Si definisce perdita di potenza P_{LR} il reciproco del guadagno totale di potenza

$$P_{LR} = \frac{P_{incidente}}{P_{esito}} = \frac{1}{1 - |\Gamma(\omega)|^2}$$

$\Gamma(\omega)$ è hermitiana e quindi $|\Gamma(\omega)|^2$ è necessariamente una funzione pari di ω

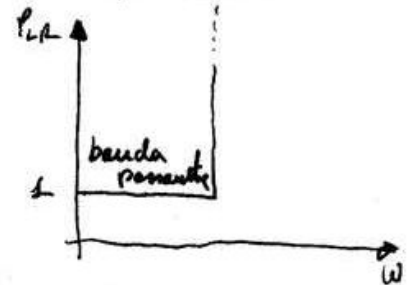
$$|\Gamma(\omega)|^2 = \frac{M(\omega^2)}{M(\omega^2) + N(\omega^2)}$$

$$P_{LR} = 1 + \frac{N(\omega^2)}{M(\omega^2)}$$

La funzione $P_{LR}(\omega)$ dovrebbe essere pari a 1 nella banda passante e a ∞ fuori da questa, e inoltre dovrebbe avere una fase lineare con ω per evitare distorsioni.

Queste specifiche non sono però ottenibili e occorre approssimare P_{LR} con un andamento realizzabile, in cui M, N sono polinomi.

Per un filtro passa-basso si usano



- Filtro di Butterworth (o maximally flat)

$$P_{LR} = 1 + k^2 \left(\frac{\omega}{\omega_c} \right)^{2N}$$

dove ω_c è la frequenza di taglio e $2N-1$ derivata di P_{LR} sono nulli per $\omega=0$.

Se si fissa ω_c come la frequenza in cui $P_{LR} = 3 \text{ dB}$ allora $k=1$

Per $\omega \gg \omega_c$ si ha $P_{LR} \approx \left(\frac{\omega}{\omega_c} \right)^{2N}$. Ha interesse la velocità di aumento di P_{LR} (che si misura in genere in decade)

$$\frac{P_{LR}(\omega_0)}{P_{LR}(10\omega_0)} \approx \frac{1}{(10)^{2N}} \quad \text{e passando ai logaritmi si ha una variazione di } 20N \text{ dB/decade}$$

- Filtro di Chebyshev o equiripple

$$P_{LR} = 1 + k^2 T_N^2 \left(\frac{\omega}{\omega_c} \right)$$

che ha un andamento oscillante tra 1 e $1+k^2$ nella banda passante. k^2 fissa quindi il ripple in tale zona. ω_c è la frequenza di taglio

Per $\omega \gg \omega_c$ $P_{LR} \approx \frac{k^2}{4} \left(\frac{\omega}{\omega_c} \right)^{2N}$ per cui il decremento è ancora

$20N \text{ dB/decade}$ ma la risposta è sempre $\frac{k^2}{4} (2)^{2N}$ più grande (ovvero il filtro di Chebyshev attenua di più)

- Filtro a fase lineare

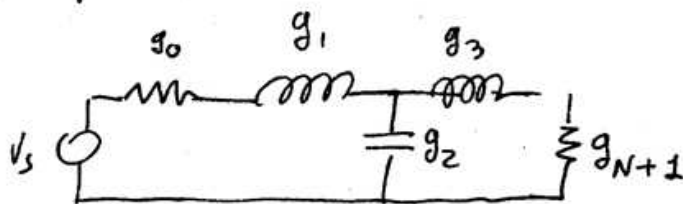
La fase della funzione di trasferimento di un filtro $\phi(\omega)$ entra nella risposta sfasando le varie componenti armoniche di un segnale. Se $\phi(\omega)$ è lineare con ω tale sfasamento è costante, altrimenti provoca una distorsione all'uscita. I filtri che abbiamo visto (in particolare quello di Chebyshev) hanno una fase che è non-lineare.

Per ottenere una fase sufficientemente lineare (ma con un taglio molto meno netto) occorre utilizzare filtri "a fase lineare" in ω

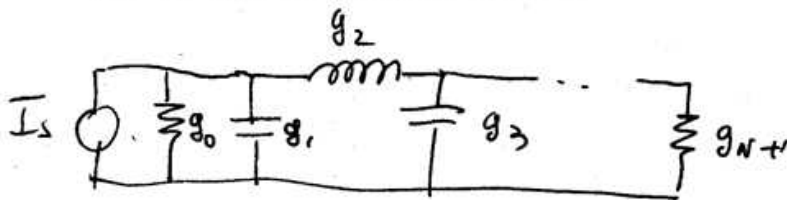
$$\phi(\omega) = A\omega \left[1 + p \left(\frac{\omega}{\omega_c} \right)^2 \right]$$

ovvero in cui $\frac{\phi(\omega)}{\omega}$ sia massima piattezza.

Per quanto riguarda la realizzazione, un filtro passa-basso è costituito da condensatori in parallelo e induttori in serie e può quindi essere di due tipi:



g_0, g_{N+1} resistenze



g_0, g_{N+1} conduttanze

Poiché la risposta in frequenza del filtro dipende dal rapporto reciproco tra le impedenze, poniamo sempre finarne una. In genere si sceglie $g_0 = 1$ (1Ω o $1 S$ nei due casi) e (salvo che per filtri di Chebyshev con N pari) anche il carico è unitario (in Ω o in S nei due casi).

Esistono tabelle che forniscono i valori delle induttanze serie e capacità in parallelo per i vari filtri, nonché del carico richiesto (che, ricordiamo, è in Ω o in S rispettivamente nei due circuiti base) se il filtro non ha uscita adattata o simili (in tale ultimo caso occorre un trasformatore a $\lambda/4$ che ha però una risposta in frequenza che può alterare quella del filtro: conviene quindi evitare tale caso)

L'ordine del filtro va ^{preventivamente} scelto in modo da avere la richiesta attenuazione fuori banda

I dati sono sempre relativi a $\omega_c = 1$ ma questo non toglie la generalità in quanto è sempre possibile scalare i componenti per modificare ω_c .

TRASFORMAZIONI DI FILTRI

Le tabelle disponibili sono normalizzate a $g_0 = 1$ e $\omega_c = 1$.
Per modificare tali valori basta ricordare che le impedenze devono essere uguali nei due casi (quello normalizzato e quello reale) per avere la stessa risposta. Più precisamente deve essere lo stesso il rapporto tra le impedenze.

Quindi se un induttore vale L nel caso normalizzato, vuol dire che alla frequenza di taglio ^{virtuale} deve essere

$$\frac{Z_L}{1} = jL$$

essendo Z_L la sua impedenza e 1 la resistenza (in entrambi i casi) della sorgente.
Nel filtro vero dovrà esserci la stessa impedenza alla frequenza di taglio $\bar{\omega}_c$. Quindi il nuovo valore di induttanza \bar{L} è tale che

$$jL = \frac{Z_L}{1} = \frac{\bar{Z}_L}{R_0} = \frac{j\bar{\omega}_c \bar{L}}{R_0}$$

$$\text{per cui } \bar{L} = \frac{L R_0}{\bar{\omega}_c} \quad \text{e analogamente } \bar{C} = \frac{C}{\bar{\omega}_c R_0}$$

essendo R_0 il livello di impedenza necessario.

La scalatura di impedenza e frequenza di taglio può essere sempre eseguita, specie per filtri a microonde, al termine del progetto.
Nell'esaminare quindi gli altri tipi di filtri lasciamo quindi i parametri normalizzati.

La trasformazione $\omega = -\frac{1}{\omega'}$ inverte i punti $\omega=0$ e $\omega=\infty$ e

quindi trasforma un filtro passa-basso in uno passa-alto
(Per ω è pari rispetto a ω e quindi su questo il segno meno non ha effetto).

Per quanto riguarda i componenti reattivi, ora la loro impedenza deve variare in modo opposto con la frequenza rispetto a un filtro passa-basso.

Se un componente aveva impedenza a frequenza ω pari a $i\omega L$
ora dovrà avere la stessa impedenza a $\omega' = -\frac{1}{\omega}$. Quindi per esso

$$Z(\omega') = i\omega L = i\left(-\frac{1}{\omega'}\right)L = \frac{1}{i\omega'(\frac{1}{L})}$$

del componente diviene quindi un condensatore di valore $\frac{1}{L}$. Allo stesso modo un condensatore C diviene un induttore di valore (normalizzato) $\frac{1}{C}$. Si noti che il segno meno nella trasformazione è necessario per avere il corretto segno delle reattanze (ovvero per avere segno e andamento in frequenza coerenti)

Cominciamo invece $\omega = \frac{1}{\Delta} \left(\omega' - \frac{1}{\omega'} \right) \Rightarrow (\omega')^2 - \omega \Delta \omega' - 1 = 0 \quad (*)$

Nelle \otimes $\omega = 1$ e $\omega = -1$ corrispondono
(funzioni pari) alle soluzioni dell'equazione
in quanto $\omega = 1$ e $\omega = -1$ sono le
frequenze di taglio per il filtro passabasso.

Volissimo vedere a cosa corrispondono
 $\omega = \pm 1$ per il filtro ottenuto con la
trasformazione $\omega = \frac{1}{\Delta}(\omega' - \frac{1}{\omega'})$

Le \otimes diventa:

$$\text{per } \omega = 1 \Rightarrow (\omega')^2 - \omega' \Delta - 1 = 0$$

con soluzioni:

$$\omega'_1 = \frac{\Delta}{2} + \sqrt{1 + \frac{\Delta^2}{4}}$$

$$\omega'_2 = \frac{\Delta}{2} - \sqrt{1 + \frac{\Delta^2}{4}}$$

per $\omega = -1 \Rightarrow (\omega')^2 + \omega'\Delta - 1 = 0$

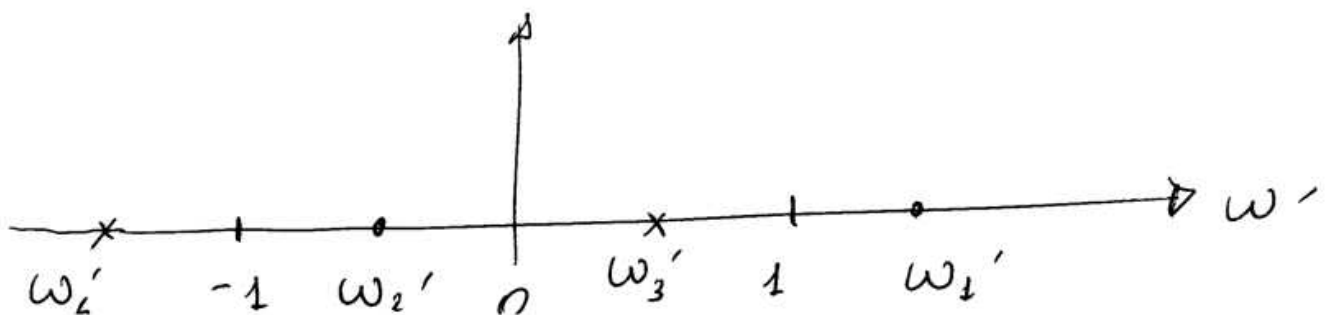
con soluzioni:

$$\omega'_3 = -\frac{\Delta}{2} + \sqrt{1 + \frac{\Delta^2}{4}}$$

$$\omega'_4 = -\frac{\Delta}{2} - \sqrt{1 + \frac{\Delta^2}{4}}$$

ω'_1 e ω'_3 sono valori ottimi e $\omega = 1$

ω'_2 e ω'_4 sono valori ottimi e $\omega = -1$



$$\omega'_1 = -\omega'_4$$

$$\omega'_3 = -\omega'_2$$

Quindi le bande passanti del filtro PBande
è un intervallo centrato in $\omega' = 1$

e i limiti delle bande (i punti corrispondenti alle freq. di taglio del passabasso) sono ω_3' e ω_1' :

$$\left[-\frac{\Delta}{2} + \sqrt{1 + \frac{\Delta^2}{4}} ; \frac{\Delta}{2} + \sqrt{1 + \frac{\Delta^2}{4}} \right]$$

Inoltre $\omega_1' - \omega_3' = \Delta$ e la larghezza di bande del filtro PB espresse in percentuale di quella centrale che è unitaria.

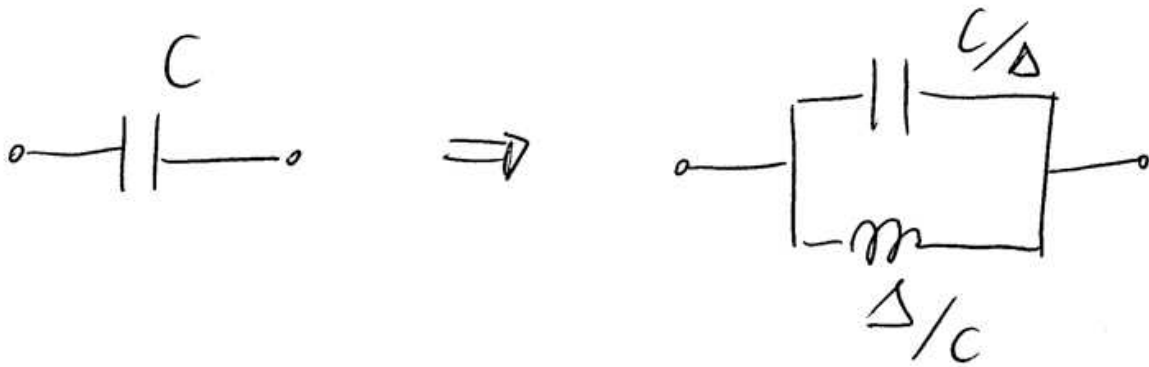
Per questo riguarda i componenti con le trasformazioni PBasso \rightarrow PBande.

si ha :

$$j\omega L = j \frac{1}{\Delta} \left(\omega' - \frac{1}{\omega'} \right) = j\omega' \frac{L}{\Delta} + \frac{1}{j\omega' \left(\frac{\Delta}{L} \right)}$$

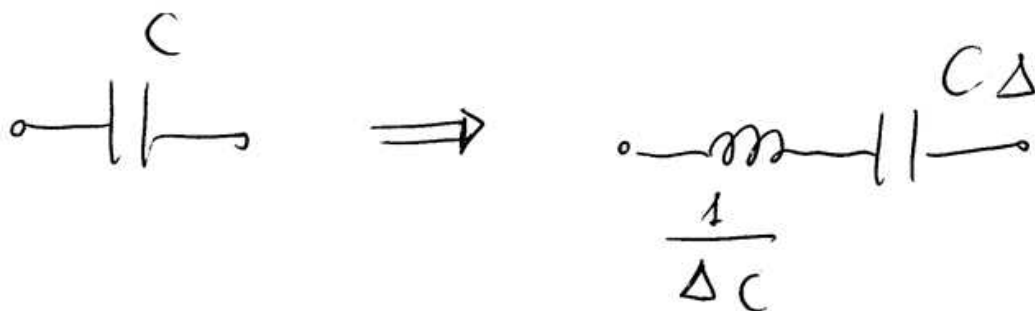
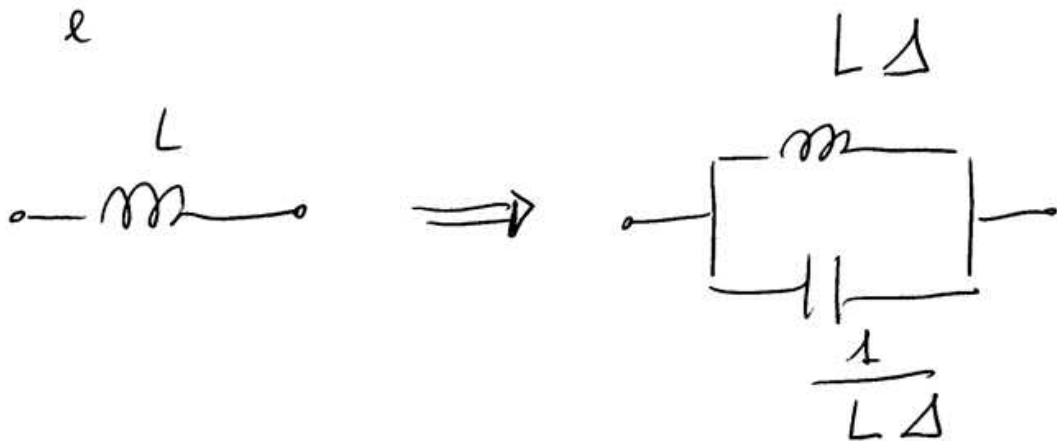
$$j\omega C = j\omega' \left(\frac{C}{\Delta} \right) + \frac{1}{j\omega' \left(\frac{\Delta}{C} \right)}$$

e quando:

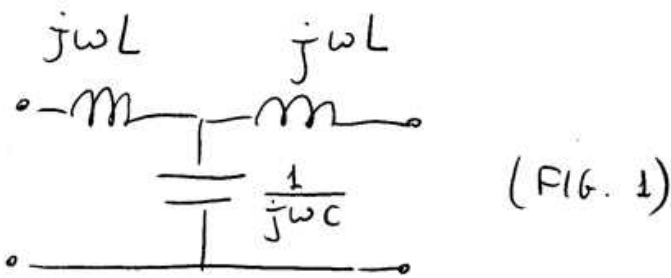


Per un filtro eliminabanda la trasformazione è invece:

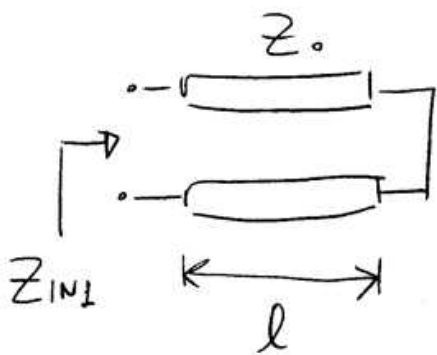
$$\omega = -\Delta \left(\omega' - \frac{1}{\omega'} \right)^{-1}$$



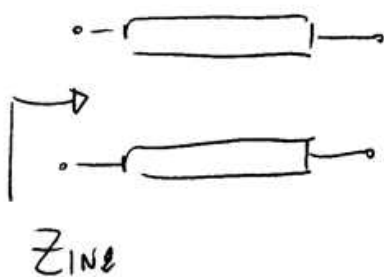
Implementazioni di filtri passabasso



Ad alte frequenze le reti LC non sono utilizzabili, occorre realizzarle tramite linee di trasmissione:



$$Z_{IN1} = j Z_0 \operatorname{tg} \left(\frac{\omega l}{c} \right)$$

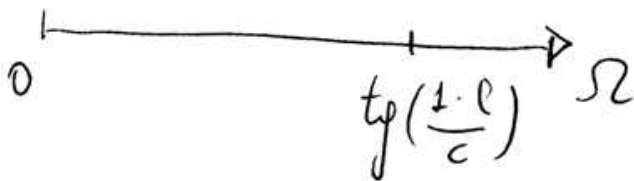


$$Z_{IN2} = -j Z_0 \frac{1}{\operatorname{tg} \left(\frac{\omega l}{c} \right)}$$

quindi le reti sono utilizzabili hanno le caratteristiche dipendenti non da ω ma da $\Omega = \operatorname{tg} \left(\frac{\omega l}{c} \right)$ e la relazione tra ω e Ω non è lineare.

Possiamo accettare di usare Z_{112} e Z_{1r2} con alcune pressioni:

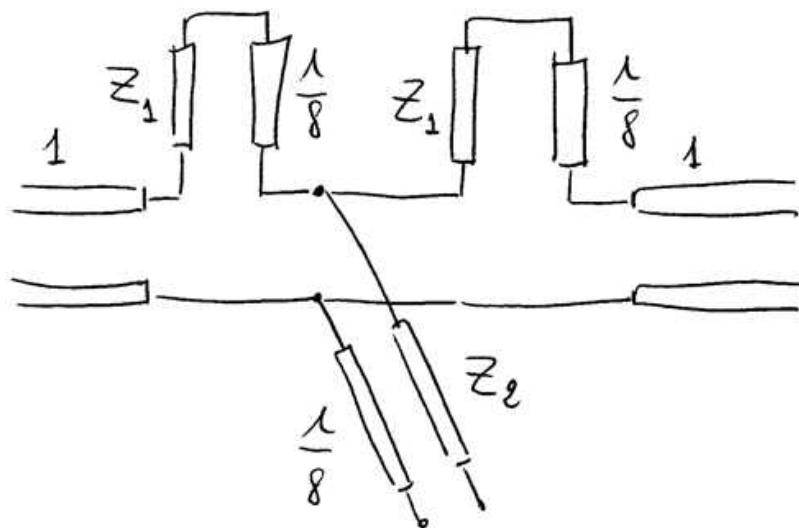
mettiamo in corrispondenza il segmento $[0, 1]$ un " ω " con il segmento $[0, \operatorname{tg}(\frac{1 \cdot l}{c})]$ un " Ω "



Si tratta di una trasformazione non lineare ma se imponiamo $\operatorname{tg}(\frac{1 \cdot l}{c}) = 1$, troviamo che la banda passante del filtro espone un funzione di ω e Ω e le stesse (ovvero mente l'andamento un banda è leggermente diverso)

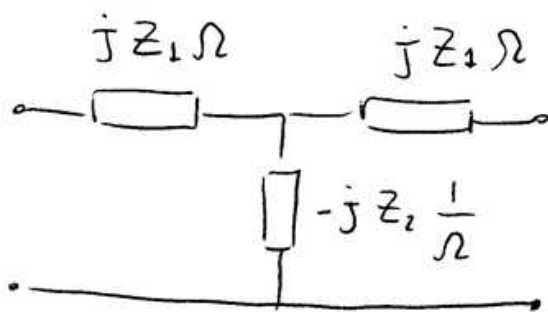
$$\operatorname{tg}\left(\frac{1 \cdot l}{c}\right) = 1 \Rightarrow \frac{1 \cdot l}{c} = \frac{\pi}{4} \Rightarrow l = \frac{\pi c}{4} = \frac{1}{8}$$

È quando possibile realizzare un filtro passabasso utilizzando il seguente scheme:



(Fig. 2)

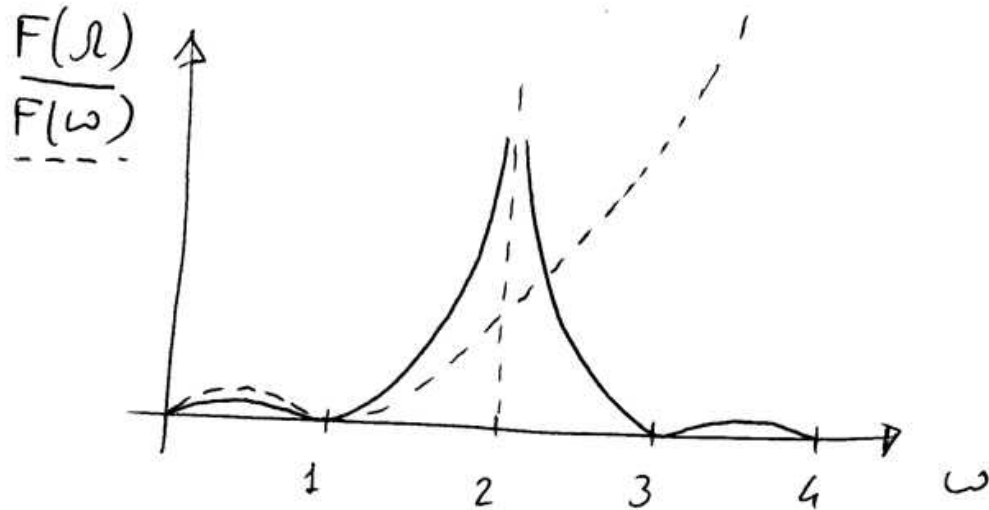
o cui corrisponde:



(Fig. 3)

Se la risposta del filtro in Fig. 1 è una $F(\omega)$, la risposta del filtro in Fig. 2 e 3 sarà una $F(\Omega)$ purché $Z_1 = L$ e $Z_2 = \frac{1}{C}$. Inoltre, nei due casi, la banda passante coincide purché ω vari tra 0 e 1 allora Ω vari tra 0 e 1.

La trasformazione $\omega \leftrightarrow \Omega$ prende il nome di trasformazione di RICHARD



Si osserva l'andamento periodico di $F(\Omega)$ mentre $F(\omega)$ si attenua a frequenze elevate.

La soluzione in frequenza e impedenza per questo filtro è ovvia:

- L e $\frac{1}{C}$ sono impedenze vanno molto piccoli per Z_0 .
- $\frac{1}{8}$ deve essere scelto alla frequenza di cut-off ω_c (ovvero a quella normalizzata $\omega_c = 1$)

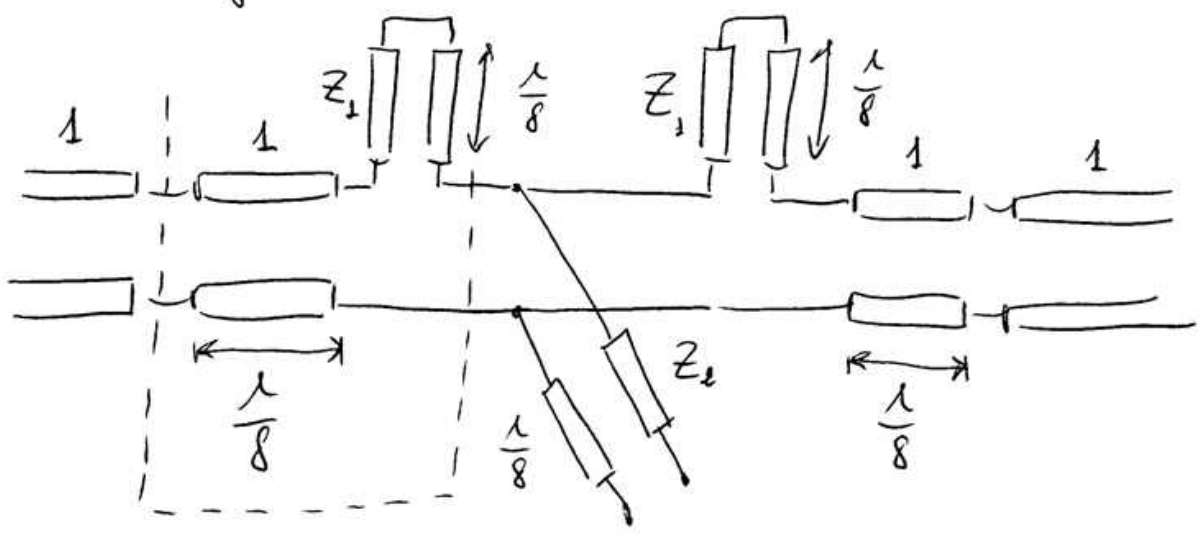
I filtri possono contenersi solamente
 induttanze in serie e capacità in parallelo,
 che diventano quindi rispettivamente stub
 in serie e stub in parallelo.

Nelle realizzazioni planari gli stub in
 serie sono da difficile realizzazione e
 un microstriscia non sono realizzabili.

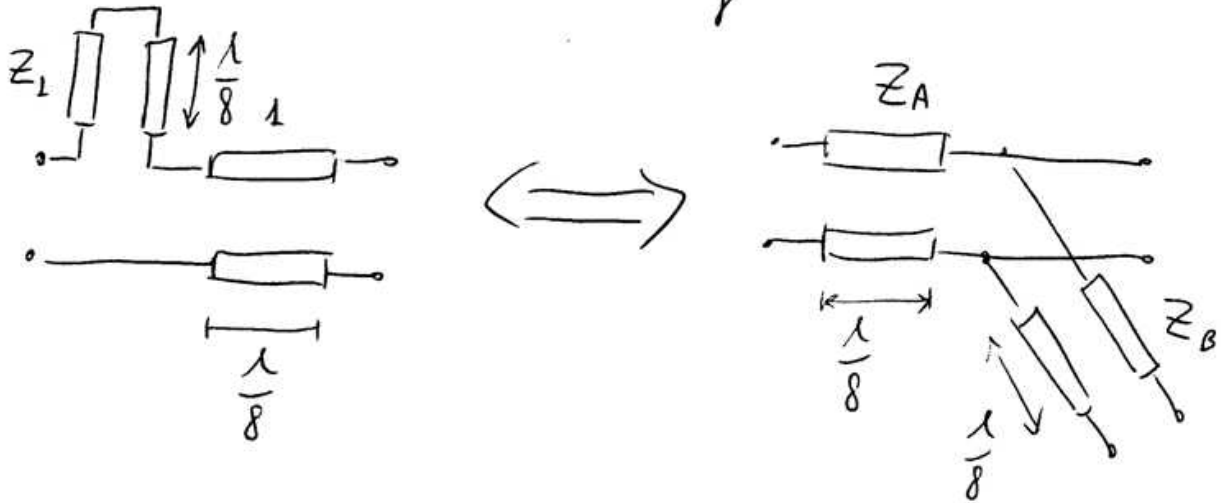
È possibile trasformare gli stub in serie
 in stub in parallelo utilizzando la:
 "identità di Kuroda".

Consideriamo il filtro in FIG. 2.

Oppure a destra e a sinistra un
 tratto $\frac{\lambda}{8}$ di un'impedanza unitaria le risposte
 del filtro non cambiano:



Possiamo trovare una equivalente tra i due circuiti seguenti:



L'equivalente si ottiene esplicitando le due matrici di trasmissione;
per il circuito a sinistra:

$$\begin{bmatrix} 1 & jZ_1 \Omega \\ 0 & 1 \end{bmatrix} \begin{bmatrix} 1 & j\Omega \\ j\Omega & 1 \end{bmatrix} \frac{1}{\sqrt{1+\Omega^2}} =$$

$$= \frac{1}{\sqrt{1+\Omega^2}} \begin{bmatrix} 1 - Z_1 \Omega^2 & j\Omega(1+Z_1) \\ j\Omega & 1 \end{bmatrix} \quad (1)$$

$$\text{con } \cos\left(\frac{\omega l}{c}\right) = \frac{1}{\sqrt{1+t_p^2\left(\frac{\omega l}{c}\right)}} = \frac{1}{\sqrt{1+\Omega^2}}$$

per il circuito a destra:

$$\frac{1}{\sqrt{1+\Omega^2}} \begin{bmatrix} 1 & jZ_A \Omega \\ \frac{j\Omega}{Z_A} & 1 \end{bmatrix} \begin{bmatrix} 1 & 0 \\ \frac{j\Omega}{Z_B} & 1 \end{bmatrix} =$$

$$= \frac{1}{\sqrt{1+\Omega^2}} \begin{bmatrix} 1 - \frac{Z_A}{Z_B} \Omega^2 & jZ_A \Omega \\ j\Omega \left(\frac{1}{Z_A} + \frac{1}{Z_B} \right) & 1 \end{bmatrix} \quad (2)$$

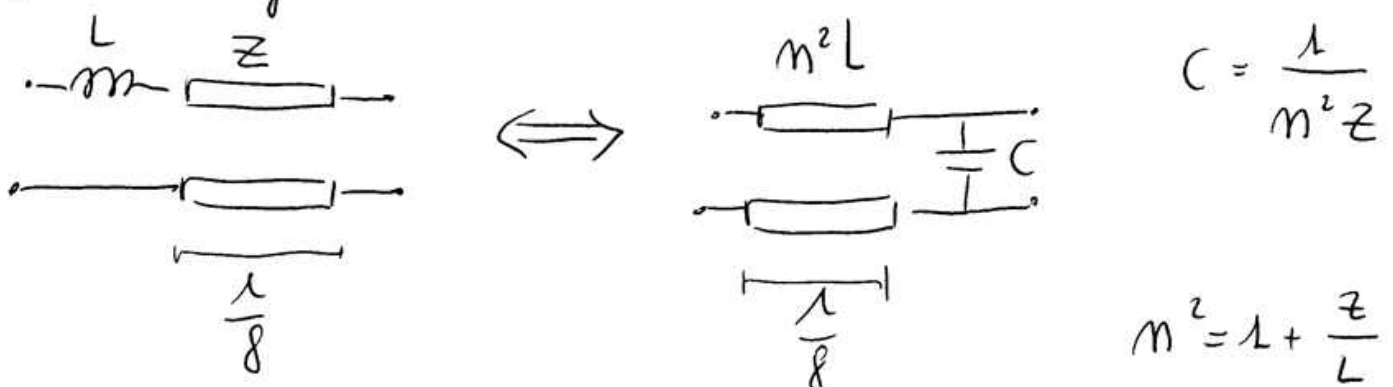
Le matrici (1) e (2) sommano a:

$$Z_A = 1 + Z_1 = 1 + L$$

$$Z_B = 1 + \frac{1}{Z_1} = 1 + \frac{1}{L}$$

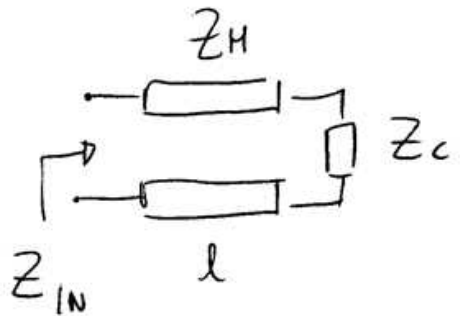
NOTA: Z_A può essere piuttosto elevato e difficile da realizzare o non realizzabile

La identità di Kuroda si possono scrivere nelle forme seguenti:



FILTRI A SCALA

Consideriamo una linea di trasmissione corta ($\beta l \ll 1$) di impedenza elevata ($\sim 2, 3, 4$) chiusa su un carico Z_c :

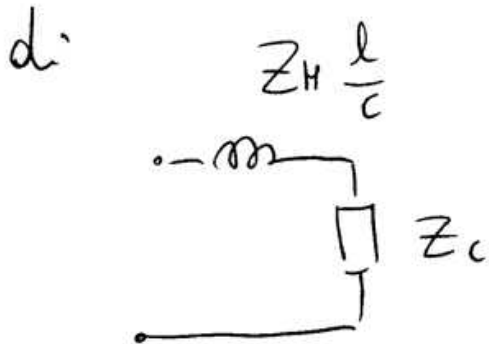


$$Z_{IN} = \frac{Z_H (Z_c + j Z_H \tan(\beta l))}{Z_H + j Z_c \tan(\beta l)}$$

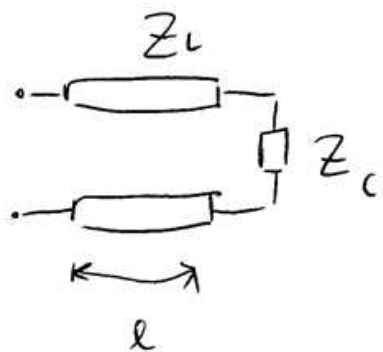
A denominatore $Z_c \tan(\beta l) \ll Z_H$ quindi:

$$Z_{IN} \approx \cancel{Z_H} \frac{Z_c + j \cancel{Z_H} \tan(\beta l)}{\cancel{Z_H}} \approx Z_c + j Z_H \left(\frac{\omega l}{c} \right)$$

Quest'ultima espressione è l'impedenza



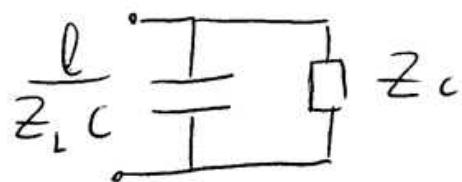
Se invece consideriamo una linea corta ma con $Z_L \ll 1$:



$$Y_{IN} = \frac{1}{Z_L} \frac{\frac{1}{Z_c} + j \frac{1}{Z_L} \tan(\beta l)}{\frac{1}{Z_L} + j \frac{1}{Z_c} \tan(\beta l)}$$

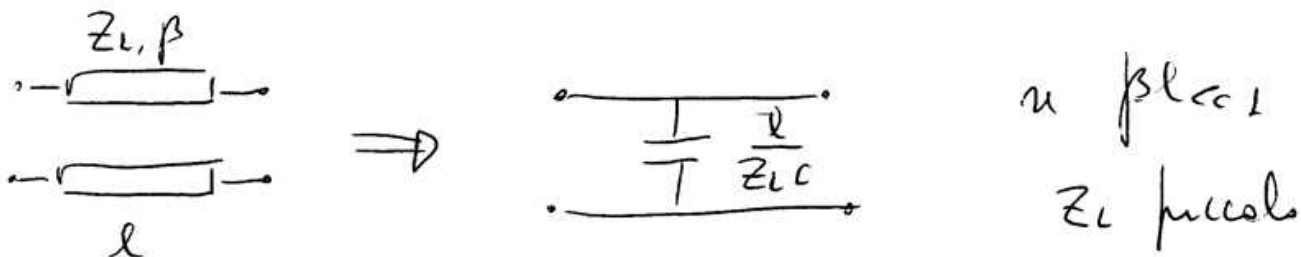
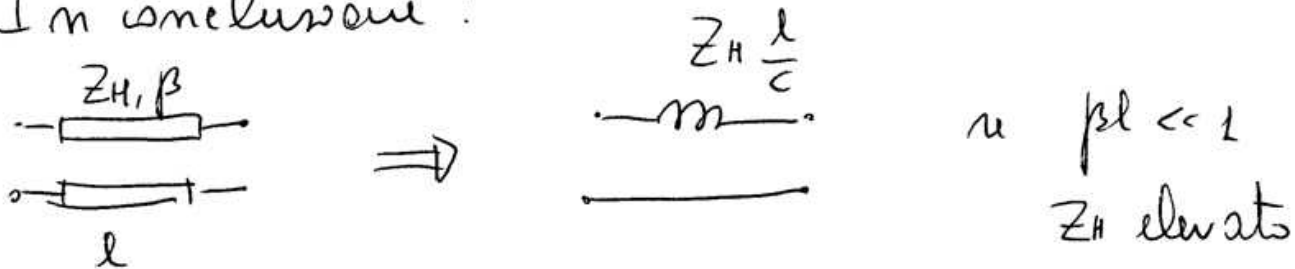
$$\approx \frac{1}{Z_c} + j \frac{\omega l}{c} \cdot \frac{1}{Z_L}$$

che equivale ad una capacità in parallelo
 di valore $\frac{l}{Z_L c}$



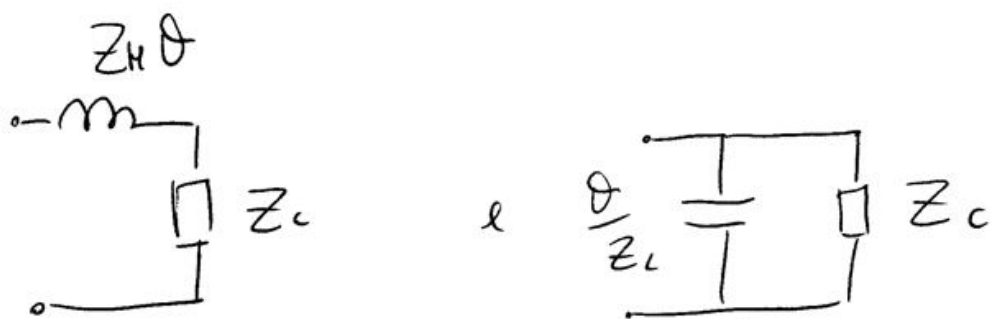
Si osserva che "Zc" è quello che rimane del
 filtro e rimane del componente (L o C).

In conclusione:

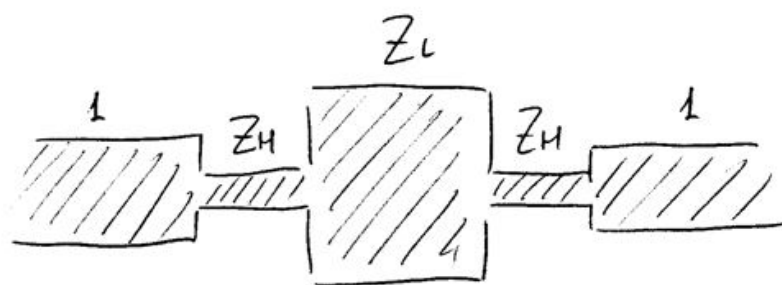


La precisione del filtro aumenta al crescere di Z_H/Z_L e quando questo rapporto è scelto più grande possibile compatibilmente con i limiti tecnologici (un MS 10-180 Ω)

Si osserva che $\frac{l}{c} = \theta$ alla frequenza $\omega l = 1$ quindi:



che realizza le scalature del filtro.



esempio: plauso un MS per un filtro 3 stadi.

Un grosso vantaggio di un filtro stepped impedance rispetto ad un filtro di KURODA è che ha un piccolissimo spessore trasversale e, tutto sommato, anche longitudinale. Ad esempio, un filtro stepped imp. di ordine 5 ha una lunghezza elettrica di circa 150° mentre un filtro di KURODA di ordine 5 ha una lunghezza elettrica di circa 180° .

Inoltre, mentre per un filtro di KURODA la linea di impedenza Z_A potrebbe cioè essere realizzabile (impedenze troppo elevate), nel caso di un filtro stepped imp. la realizzabilità è garantita e persino scegliendo Z_L e Z_H realizzabili.

In un filtro stepped imp. le lunghezze delle linee sono un po' tutte differenti perché scelpo una volta per tutte Z_L e Z_H un modo che il rapporto $\frac{Z_H}{Z_L}$ mi sia più grande possibile.

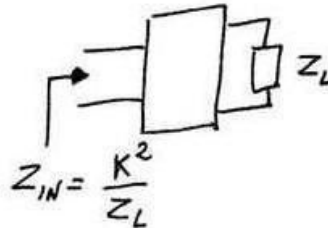
Ovviamente più grande è $\frac{Z_H}{Z_L}$ più preciso sarà il filtro. D'altra parte, poiché non posso fare Z_H molto grande (linee troppo sottili) né Z_L troppo piccolo (linee troppo lunghe^(*)) il filtro stepped imp. è intrinsecamente impreciso.

Inoltre il filtro stepped imp. non è periodico e, superate le freq. da taglio, si comporta talvolta in modo imprevedibile.

(*) teoricamente è possibile fare Z_L molto piccolo ma devo comunque tenere conto che il giunzionamento deve essere TEM o φ -TEM. Ad esempio, non si può fare una linea di 3Ω perché sarebbe largo quanto la lunghezza d'onda e avere modo superiore.

INVERTITORI DI IMPEDENZA

Un inverter di impedenza è un doppio bipolo che trasforma una impedenza in ammettenza e viceversa. Il suo comportamento è quello mostrato in figura.



Utilizzando la matrice di trasmissione si ha:

$$Z_{IN} = \frac{V_1}{I_1} = \frac{AV_2 + BI_2}{CV_2 + DI_2} = \frac{AZ_2 + B}{CZ_2 + D}$$

Imponendo $Z_{IN} = \frac{K^2}{Z_L}$ si trova

$$A = D = 0 \quad \frac{B}{C} = K^2$$

D'altra parte, per la reciprocità $-BC=1$ e, se il doppio bipolo è privo di perdite, segue $B = \mp iK$, $C = \mp i/K$.

Sono possibili quindi due tipi di inverter a seconda del segno scelto

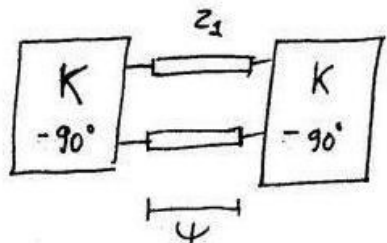
$$\begin{array}{|c|} \hline K \\ \hline 90^\circ \\ \hline \end{array} \Rightarrow \begin{bmatrix} 0 & iK \\ i/K & 0 \end{bmatrix}$$

$$\begin{array}{|c|} \hline K \\ \hline -90^\circ \\ \hline \end{array} \Rightarrow \begin{bmatrix} 0 & -iK \\ -i/K & 0 \end{bmatrix}$$

Evidentemente un tale inverter è equivalente ad una linea lunga $\pm \pi/2$ (a tutte le frequenze) di impedenza K .

Esistono anche inverter di ammettenza, caratterizzati da una ammettenza J , la cui descrizione si ottiene sostituendo $K \rightarrow \frac{1}{J}$

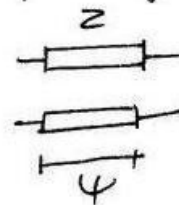
Evidentemente è sempre possibile inserire un inverter di impedenza in un circuito a patto di sostituire ogni impedenza Z a valle con K^2/Z . Inoltre è possibile inserire due inverter uguali ai due lati di una linea, purchè se ne modifichi l'impedenza:



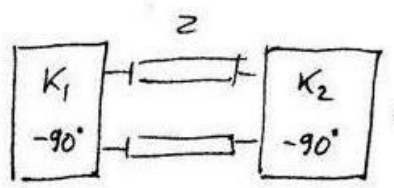
$$\Rightarrow \begin{bmatrix} 0 & -iK \\ -i/K & 0 \end{bmatrix} \begin{bmatrix} \cos \psi & iZ_1 \sin \psi \\ \frac{i \sin \psi}{Z_1} & \cos \psi \end{bmatrix} \begin{bmatrix} 0 & -iK \\ -i/K & 0 \end{bmatrix} =$$

$$= \begin{bmatrix} \frac{K}{Z_1} \sin \psi & -iK \cos \psi \\ -\frac{i}{K} \cos \psi & \frac{Z_1}{K} \sin \psi \end{bmatrix} \begin{bmatrix} 0 & -iK \\ -i/K & 0 \end{bmatrix} = \begin{bmatrix} -\cos \psi & -\frac{iK^2}{Z_1} \sin \psi \\ -\frac{iZ_1}{K^2} \sin \psi & -\cos \psi \end{bmatrix}$$

che è la matrice di trasmissione di una linea di pari lunghezza e di impedenza Z se $Z_1 = \frac{K^2}{Z}$



E' anche possibile cambiare i valori di impedenza caratteristica ed inverters, infatti si ha:



$$\Rightarrow \begin{bmatrix} \frac{K_1}{Z} \sin \psi & -iK_1 \cos \psi \\ -\frac{i}{K_1} \cos \psi & \frac{Z}{K_1} \sin \psi \end{bmatrix} \begin{bmatrix} 0 & -iK_2 \\ -i/K_2 & 0 \end{bmatrix} =$$

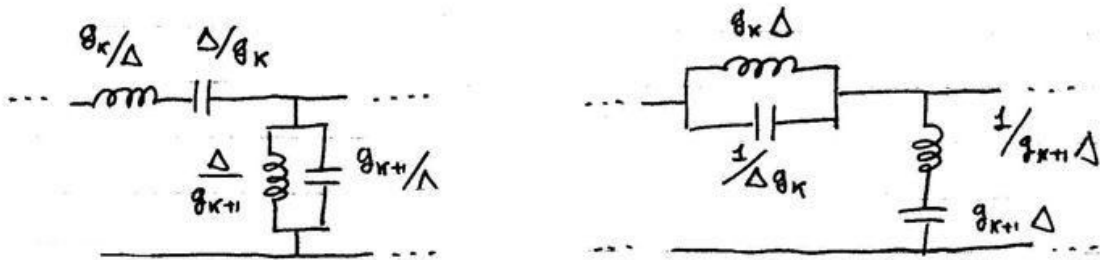
$$= \begin{bmatrix} -\frac{K_1}{K_2} \cos \psi & -\frac{iK_1 K_2}{Z} \sin \psi \\ -\frac{iZ}{K_1 K_2} \sin \psi & -\frac{K_2}{K_1} \cos \psi \end{bmatrix}$$

e possiamo quindi sostituire i valori K_1, K_2, Z con K'_1, K'_2, Z' purchè

$$\frac{K_1}{K_2} = \frac{K'_1}{K'_2} \quad \frac{K_1 K_2}{Z} = \frac{K'_1 K'_2}{Z'}$$

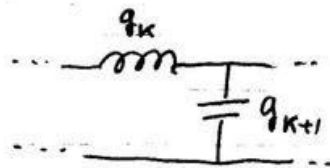
FILTRI PASSA-BANDA ED ELIMINA-BANDA CON INVERTITORI DI AMMETTENZA

Il prototipo a bassa frequenza di un filtro passa-banda o elimina-banda è

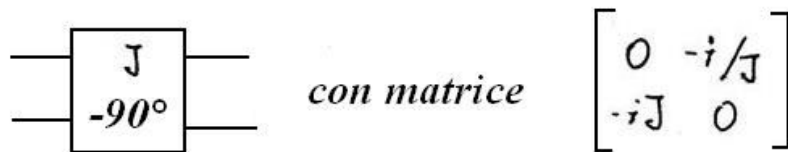


dove $\Delta = \frac{\omega_2 - \omega_1}{\omega_0}$ è la larghezza di banda percentuale del filtro

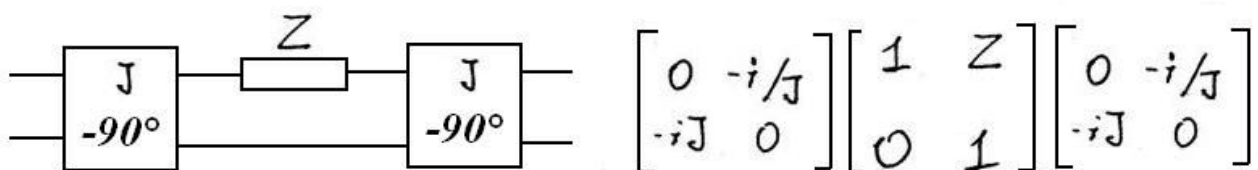
centrato su ω_0 [(ω_1, ω_2) è la banda passante] e g_k sono i coefficienti del prototipo passa-banda:



È possibile ottenere prototipi diversi, in cui tutti i circuiti LC siano in parallelo (o in serie) utilizzando opportuni circuiti detti invertitori di ammettenza



Una ammettenza Y in parallelo diviene una impedenza in serie affiancata da due inverter uguali. Si ha infatti:



$$= \begin{bmatrix} 0 & -i/J \\ -iJ & -iJZ \end{bmatrix} \begin{bmatrix} 0 & -i/J \\ -iJ & 0 \end{bmatrix} = \begin{bmatrix} -1 & 0 \\ -J^2Z & -1 \end{bmatrix} = (-1) \begin{bmatrix} 1 & 0 \\ J^2Z & 1 \end{bmatrix}$$

Il termine (-1) è un fattore che possiamo trascurare (non modifica la risposta del filtro) o al più tenerne conto con un trasformatore $-1:1$ posto in un punto qualunque.

Resta quindi la relazione $Y = J^2 Z$

Se ad esempio $Y = i(\omega C - \frac{1}{\omega L})$ (LC parallelo) allora

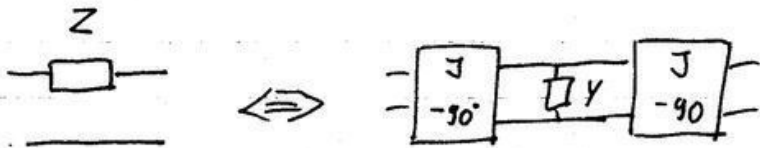
$Z = i \frac{\omega L - \frac{1}{\omega C}}{J^2}$ ovvero un LC serie con induttanza $\frac{L}{J^2}$ e

capacità LJ^2 e, dualmente, un LC serie $Y = [i(\omega L - \frac{1}{\omega C})]^{-1}$

diviene $Z = \frac{1}{J^2} [i(\omega L - \frac{1}{\omega C})]^{-1}$ ovvero un LC parallelo con

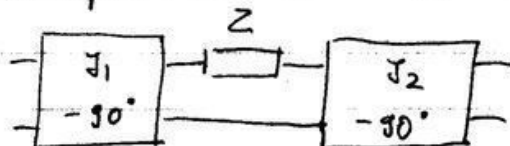
induttanza C/J^2 e capacità LJ^2 .

Allo stesso modo



con $Z = Y/J^2$

In tal modo si ottiene un filtro con tutti invertori uguali e circuiti LC diversi. È però possibile ottenere anche circuiti LC uguali (e invertori diversi). Infatti per un circuito del tipo



si ha

$$\begin{bmatrix} 0 & -i/J_1 \\ -iJ_1 & 0 \end{bmatrix} \begin{bmatrix} 1 & Z \\ 0 & 1 \end{bmatrix} \begin{bmatrix} 0 & -i/J_2 \\ -iJ_2 & 0 \end{bmatrix} = \begin{bmatrix} 0 & -i/J_1 \\ -iJ_1 & -iJ_1 Z \end{bmatrix} \begin{bmatrix} 0 & -i/J_2 \\ -iJ_2 & 0 \end{bmatrix} =$$

$$= (-1) \begin{bmatrix} J_2/J_1 & 0 \\ J_1 J_2 Z & J_1/J_2 \end{bmatrix}$$

È quindi possibile sostituire Z con \tilde{Z} se si modificano anche J_1, J_2 con

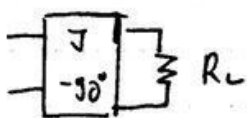
$$\frac{J_2}{J_1} = \frac{\tilde{J}_2}{\tilde{J}_1} \quad J_1 J_2 Z = \tilde{J}_1 \tilde{J}_2 \tilde{Z}$$

Ovviamente Z/\tilde{Z} deve essere una costante reale (ovvero è possibile cambiare solo il livello di impedenza del circuito LC).

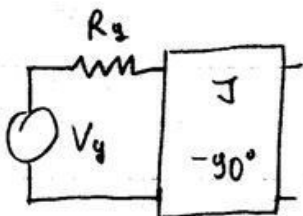
In tal caso si ha $\left(\frac{\tilde{J}_1}{J_1}\right)^2 = J_1^2 \frac{Z}{\tilde{Z}}$ $\frac{\tilde{J}_2}{J_2} = \frac{\tilde{J}_1}{J_1} \frac{J_2}{J_1}$

Analogamente per una ammittenza $\left(\frac{\tilde{J}_k}{J_k}\right)^2 = \tilde{J}_k^2 \frac{\tilde{Y}}{Y}$

In fine è possibile cambiare anche il valore della resistenza di carico e di quella del generatore.



$$R_{IN} = \frac{A V_2/I_2 + B}{C V_2/I_2 + D} = \frac{-i/J}{-iJ \cdot R_L} = \frac{1}{J^2 R_L}$$



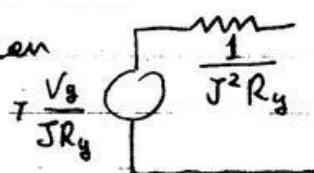
Applicando Thevenin si ha $R_{eq} = \frac{1}{J^2 R_g}$

Se l'uscita è a vuoto $R_{IN} = \frac{A}{C} = 0$ per cui

$$V_1 = 0, I_1 = \frac{V_g}{R_g}$$

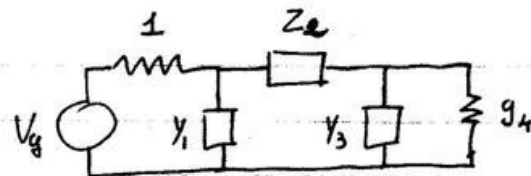
$$I_1 = C V_2 \Rightarrow V_2 = \frac{I_1}{C} = \frac{V_g}{R_g} \cdot \frac{1}{-iJ} = i \frac{V_g}{JR_g}$$

e l'equivalenza è con



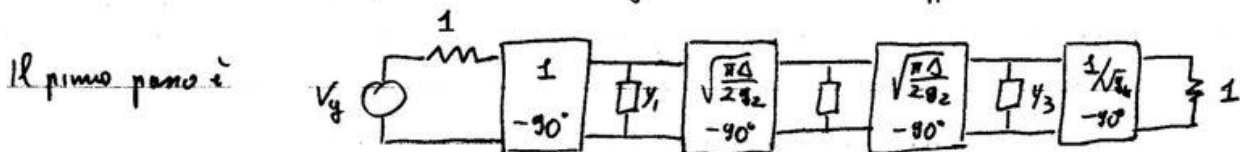
Se in particolare si moltiplica R_g per Y_0 e si divide J per Y_0 la sola resistenza R_{eq} va moltiplicata per Y_0 (scalatura di impedenza)

Si consideri ad esempio il filtro



con $Y_k = i(\omega - \frac{1}{\omega}) \frac{g_k}{\Delta}$, $Z_k = i(\omega - \frac{1}{\omega}) \frac{g_k}{\Delta}$

Si vuole trasformarlo in un filtro con 3 inverti e 3 ammettenze $i(\omega - \frac{1}{\omega}) \frac{\pi}{2}$ e carico unitario (equivalente a un filtro a linee accoppiate).



dove l'ammettenza centrale è già al valore corretto.

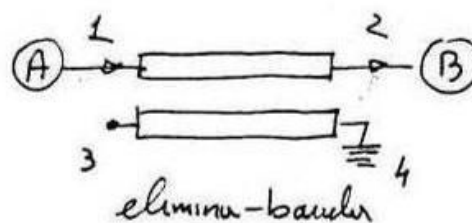
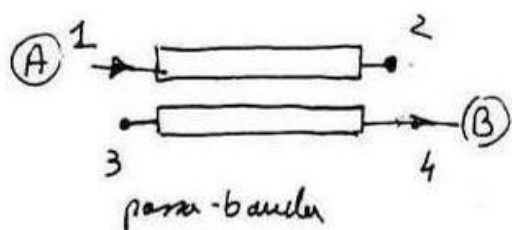
Per passare le altre due occorre moltiplicare il coefficiente dei due inverti per il rapporto $(\frac{g_k/\Delta}{\pi/2})^{-1/2} = \sqrt{\frac{\pi \Delta}{2 g_k}}$

I vari inverti diventano quindi $\sqrt{\frac{\pi \Delta}{2 g_1}}$, $\frac{\pi \Delta}{2 \sqrt{g_1 g_2}}$, $\frac{\pi \Delta}{2 \sqrt{g_2 g_3}}$, $\sqrt{\frac{\pi \Delta}{2 g_3 g_4}}$

relazione che si presta immediatamente alla generalizzazione a filtro di ordine N

FILTRI PASSA-BANDA A LINEE ACCOPPIATE

Una sezione di linee accoppiate di lunghezza elettrica pari a 90° a centro banda, può essere usata come cella elementare di un filtro passa-banda o elimina-banda se le due porte sono opportunamente terminate



Consideriamo la cella elementare per il filtro passa-banda.

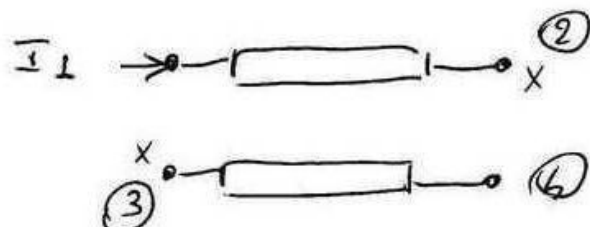
Possiamo calcolare la matrice delle impedenze relativa al circuito tra le porte A e B (ovvero 1 e 4)

$$V_1 = Z_{11} I_1 + Z_{13} I_3$$

$$V_3 = Z_{31} I_1 + Z_{33} I_3$$

$$\text{ovviamente } I_2 = I_3 = 0$$

Per calcolare la matrice delle impedenze si deve imporre $I_5 = 0$ e alimentare dalla porta 1 con un generatore di corrente di ampiezza unitaria



Questa eccitazione la posso decomporre in una eccitazione pari $(\frac{1}{2}, \frac{1}{2})$ e in una dispari $(\frac{1}{2}, -\frac{1}{2})$ alle porte 1 e 3

Quindi

$$V_{1p} = \frac{1}{2} (-j Z_p \cot \theta) \quad (\text{circuito aperto})$$

$$V_{1d} = \frac{1}{2} (-j Z_d \cot \theta)$$

Le equazioni delle linee forniscono:

$$V_{2p} (= V_{1p}) = V_{1p/d} \cos \theta - j Z_{p/d} I_{1p} \sin \theta$$

$$= \frac{1}{2} (-j Z_{p/d} \cot \theta) \cos \theta - j Z_{p/d} \frac{1}{2} \sin \theta$$

$$= \frac{1}{2} (-j Z_{p/d} \cot \theta \cos \theta) - j Z_{p/d} \frac{1}{2} \sin \theta$$

$$= \frac{1}{2} (-j Z_{p/d} \frac{\cos^2 \theta}{\sin \theta}) - j Z_{p/d} \frac{1}{2} \sin \theta =$$

$$= -\frac{1}{2} j Z_{p/d} \left[\frac{\cos^2 \theta + \sin^2 \theta}{\sin \theta} \right] =$$

$$= -\frac{1}{2} j Z_{p/d} \frac{1}{\sin \theta} = \frac{-j Z_{p/d}}{2 \sin \theta}$$

$(V_{4p} = V_{2p})$ $\sin \theta$...

$$V_{4d} = -V_{2d} = \frac{j Z_d}{2 \sin \theta}$$

$$V_1 = V_{1p} + V_{1d} = -\frac{1}{2} j \cot \theta (Z_p + Z_d) = Z_{11}$$

$$V_2 = V_{2p} + V_{2d} = -j \frac{Z_p}{2 \sin \theta} + j \frac{Z_d}{2 \sin \theta}$$

$$= -\frac{j}{2 \sin \theta} (Z_p - Z_d) = Z_{22}$$

$$\begin{pmatrix} V_A \\ V_B \end{pmatrix} = \frac{-i}{2 \sin \theta} \begin{pmatrix} (Z_p + Z_d) \cos \theta & Z_p - Z_d \\ Z_p - Z_d & (Z_p + Z_d) \cos \theta \end{pmatrix} \begin{pmatrix} I_A \\ I_B \end{pmatrix}$$

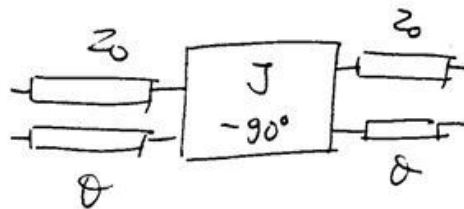
Posto $\cos \theta_1 = \frac{Z_p - Z_d}{Z_p + Z_d}$ si ottiene

$$\underline{\underline{Z}} = \frac{-i (Z_p - Z_d)}{2 \sin \theta} \begin{pmatrix} \cos \theta / \cos \theta_1 & 1 \\ 1 & \cos \theta / \cos \theta_1 \end{pmatrix}$$

cui corrisponde una matrice ABCD

$$\left[\begin{array}{cc} \frac{\cos \theta}{\cos \theta_1} & -i \frac{Z_p - Z_d}{2 \sin \theta} \left(\frac{\cos^2 \theta}{\cos^2 \theta_1} - 1 \right) \\ 1 & \frac{\cos \theta}{\cos \theta_1} \\ \frac{1}{-i \frac{Z_p - Z_d}{2 \sin \theta}} & \frac{\cos \theta}{\cos \theta_1} \end{array} \right]$$

Se la banda è sufficientemente stretta ($\theta \approx \frac{\pi}{2}$) questa è anche la matrice della struttura seguente.



Infatti la sua matrice di trasmissione è

$$\begin{pmatrix} \cos\theta & iZ_0 \sin\theta \\ \frac{i \sin\theta}{Z_0} & \cos\theta \end{pmatrix} \begin{pmatrix} 0 & -i/J \\ -iJ & 0 \end{pmatrix} \begin{pmatrix} \cos\theta & iZ_0 \sin\theta \\ \frac{i \sin\theta}{Z_0} & \cos\theta \end{pmatrix} =$$

$$\begin{aligned} \text{se } \theta &\approx \frac{\pi}{2} \\ \sin\theta &\approx 1 \\ \cos^2\theta &\approx 0 \end{aligned}$$

$$\begin{bmatrix} \left(JZ_0 + \frac{1}{JZ_0} \right) \sin\theta \cos\theta & i \left(JZ_0^2 \sin^2\theta - \frac{1}{J} \cos^2\theta \right) \\ i \left(\frac{1}{JZ_0^2} \sin\theta - J \cos^2\theta \right) & \left(JZ_0 + \frac{1}{JZ_0} \right) \sin\theta \cos\theta \end{bmatrix}$$

e trascurare i termini in $\cos^2\theta$

Si può porre $\sin\theta \approx 1$, il che limita la banda a $\left(\frac{\pi}{2} - \frac{\pi}{8}, \frac{\pi}{2} + \frac{\pi}{8} \right)$ ovvero a un massimo del 50%

(in realtà meno se si vuole ottenere un filtro preciso). Per confronto si trova allora

$$\frac{1}{\cos\theta_d} = JZ_0 + \frac{1}{JZ_0}$$

$$\frac{2}{Z_p - Z_d} = \frac{1}{JZ_0^2}$$

ovvero

$$Z_p - Z_d = 2JZ_0^2$$

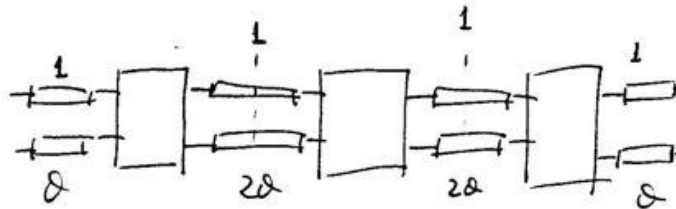
$$Z_p + Z_d = 2J^2Z_0^3 + 2Z_0$$

da cui segue

$$\begin{cases} Z_p = Z_0 \left[1 + (jZ_0) + (jZ_0)^2 \right] \\ Z_d = Z_0 \left[1 - (jZ_0) + (jZ_0)^2 \right] \end{cases}$$

Purtanto il circuito con inverti e linee è sempre equivalente alla sezione a linee accoppiate

Una sequenza di N sezioni a linee accoppiate è allora equivalente a N inverti ed $N-1$ linee lunghe 2θ , fra loro alternate, con due linee lunghe θ alle due estremità



purché Z_0 sia lo stesso per tutte le sezioni

La linea lunga 2θ ha matrice di trasmissione $\begin{pmatrix} \cos 2\theta & jZ_0 \sin 2\theta \\ j\frac{1}{Z_0} \sin 2\theta & \cos 2\theta \end{pmatrix}$

e per $\theta \approx \frac{\pi}{2}$ si ha $\cos 2\theta \approx -1$

$$\sin 2\theta = \sin(\pi + \Delta\theta) \approx -\sin \Delta\theta \approx -\Delta\theta = -\Delta\omega \frac{l}{c} = -\frac{\pi \Delta\omega}{\omega_0}$$

essendo a centro banda $\frac{\omega_0 l}{c} = \pi$. Sostituendo si trova

$$(-1) \begin{pmatrix} 1 & j\frac{\pi Z_0}{\omega_0} \Delta\omega \\ j\frac{\pi}{Z_0 \omega_0} \Delta\omega & 1 \end{pmatrix} \text{ cui corrisponde } \underline{\underline{=}} \begin{pmatrix} \frac{Z_0}{j\frac{\pi \Delta\omega}{\omega_0}} & \frac{Z_0}{j\frac{\pi \Delta\omega}{\omega_0}} + jZ_0 \frac{\pi \Delta\omega}{\omega_0} \\ \frac{Z_0}{j\frac{\pi \Delta\omega}{\omega_0}} & \frac{Z_0}{j\frac{\pi \Delta\omega}{\omega_0}} \end{pmatrix}$$

purché si elimini il termine (-1) (che non ha effetto sulla risposta in modulo)

Poiché $\frac{\Delta\omega}{\omega_0}$ è piccolo allora

$$\underline{Z} \approx \frac{z_0}{j\pi\frac{\Delta\omega}{\omega_0}} \begin{pmatrix} 1 & 1 \\ 1 & 1 \end{pmatrix} \Rightarrow \begin{array}{c} \text{---} \\ | \\ \text{---} \\ | \\ \text{---} \end{array} Y \Rightarrow \begin{array}{c} \text{---} \\ | \\ \text{---} \\ | \\ \text{---} \end{array} \begin{array}{c} L \\ C \end{array}$$

che corrisponde una $Y = j\frac{\pi}{\omega_0 z_0} \Delta\omega$ in parallelo e quindi un circuito risonante parallelo con

$$2C = \frac{\pi}{\omega_0 z_0}$$

ovvero, in termini normalizzati, $C = \frac{\pi}{2}$

Pertanto un prototipo LC passa-banda con tutti i condensatori dei circuiti risonanti uguali e pari a $\pi/2$ può essere realizzato con una sequenza di linee accoppiate.

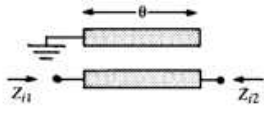
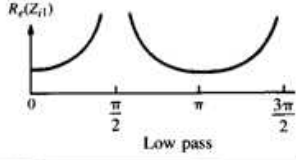
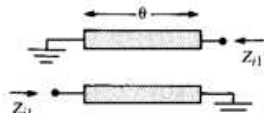
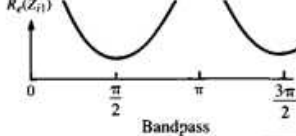
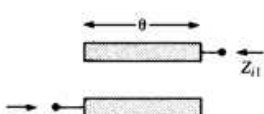
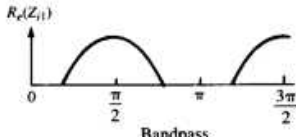
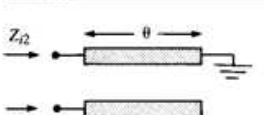
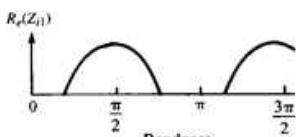
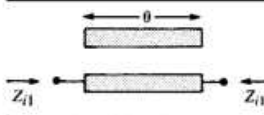
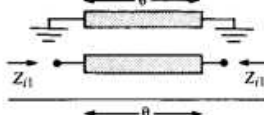
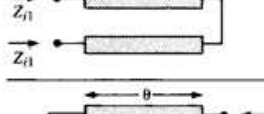
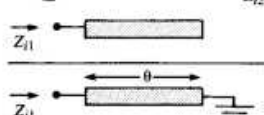


In particolare poiché nel prototipo del filtro si ha $J \approx \sqrt{\frac{\pi\Delta}{2g}}$

essendo g un valore medio dei coefficienti del filtro e J un valore medio dei moltiplicanti invertiti, allora

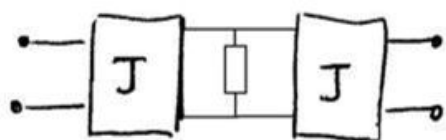
$$\frac{z_p - z_d}{2} = J \approx \sqrt{\frac{\pi\Delta}{2g}} \quad \frac{z_p + z_d}{2} = 1 + J^2 = 1 + \frac{\pi\Delta}{2g}$$

Valori elevati di Δ richiedono quindi linee molto sottili e vicine, e quindi difficilmente realizzabili.

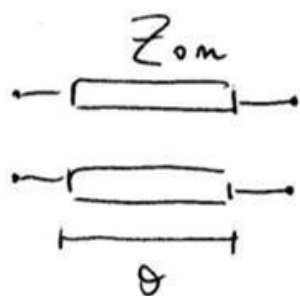
Ten Canonical Coupled Line Circuits

| Circuit | Image Impedance | Response |
|---|--|--|
|  | $Z_{i1} = \frac{2Z_{0e}Z_{0o} \cos \theta}{\sqrt{(Z_{0e} + Z_{0o})^2 \cos^2 \theta - (Z_{0e} - Z_{0o})^2}}$ $Z_{i2} = \frac{Z_{0e}Z_{0o}}{Z_{i1}}$ |  <p style="text-align: center;">Low pass</p> |
|  | $Z_{i1} = \frac{2Z_{0e}Z_{0o} \sin \theta}{\sqrt{(Z_{0e} - Z_{0o})^2 - (Z_{0e} + Z_{0o})^2 \cos^2 \theta}}$ |  <p style="text-align: center;">Bandpass</p> |
|  | $Z_{i1} = \frac{\sqrt{(Z_{0e} - Z_{0o})^2 - (Z_{0e} + Z_{0o})^2 \cos^2 \theta}}{2 \sin \theta}$ |  <p style="text-align: center;">Bandpass</p> |
|  | $Z_{i1} = \frac{\sqrt{Z_{0e}Z_{0o} \sqrt{(Z_{0e} - Z_{0o})^2 - (Z_{0e} + Z_{0o})^2 \cos^2 \theta}}}{(Z_{0e} + Z_{0o}) \sin \theta}$ $Z_{i2} = \frac{Z_{0e}Z_{0o}}{Z_{i1}}$ |  <p style="text-align: center;">Bandpass</p> |
|  | $Z_{i1} = \frac{Z_{0e} + Z_{0o}}{2}$ | All pass |
|  | $Z_{i1} = \frac{2 Z_{0e}Z_{0o}}{Z_{0e} + Z_{0o}}$ | All pass |
|  | $Z_{i1} = \sqrt{Z_{0e}Z_{0o}}$ | All pass |
|  | $Z_{i1} = -j \frac{2 Z_{0e}Z_{0e}}{Z_{0o} + Z_{0e}} \cot \theta$ $Z_{i2} = \frac{Z_{0e}Z_{0o}}{Z_{i1}}$ | All stop |
|  | $Z_{i1} = j \sqrt{Z_{0e}Z_{0o}} \tan \theta$ | All stop |
|  | $Z_{i1} = -j \sqrt{Z_{0e}Z_{0o}} \cot \theta$ | All stop |

Anche se sono linee accoppiate per realizzare
 i circuiti resonanti serie o parallelo si possono utilizzare
 degli stub lunghi come $\frac{\lambda}{4}$. I circuiti equivalenti
 di tali stub sono infatti alle LC serie (stub aperti)
 o parallelo (stub in c.c.). Gli stub possono essere collegati
 a due tratti $\frac{\lambda}{4}$ che fungono da invertitori:



Per uno stub aperto:



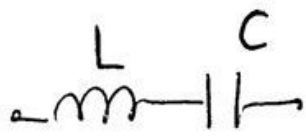
$$\begin{aligned}
 Z_{IN} &= -j Z_{0m} \cot \theta = \\
 &= -j Z_{0m} \cot \left(\frac{\pi}{2} + \Delta \theta \right)
 \end{aligned}$$

con $\Delta \theta = (\beta - \beta_0) l$ e $\beta_0 l = \frac{\pi}{2}$ ($\frac{\lambda}{4}$ a frequenza)

segue

$$\begin{aligned}
 Z_{IN} &= j Z_{0m} \tan \Delta \theta \approx j Z_{0m} \Delta \theta \\
 &= j Z_{0m} (\omega - \omega_0) \frac{l}{c}
 \end{aligned}$$

Per una cella LC serie si ha d'altezza



$$\omega_0 Q = \frac{1}{L_m C_m}$$

$$Z_{IN} = j\omega L_m + \frac{1}{j\omega C_m} = j \sqrt{\frac{L_m}{C_m}} \left(\frac{\omega}{\omega_0} - \frac{\omega_0}{\omega} \right) =$$

$$= j \sqrt{\frac{L_m}{C_m}} \frac{(\omega - \omega_0)(\omega + \omega_0)}{\omega \omega_0} \approx \frac{Qj}{\omega_0} \sqrt{\frac{L_m}{C_m}} (\omega - \omega_0)$$

avendo posto $\frac{\omega + \omega_0}{\omega_0} \approx \frac{\omega_0 + \omega_0}{\omega_0} = 2$

Ma $\omega_0 \sqrt{C_m} = \frac{1}{\sqrt{L_m}}$ e quindi

$$Z_{IN} = Qj L_m (\omega - \omega_0)$$

Quindi si ha equivalente a

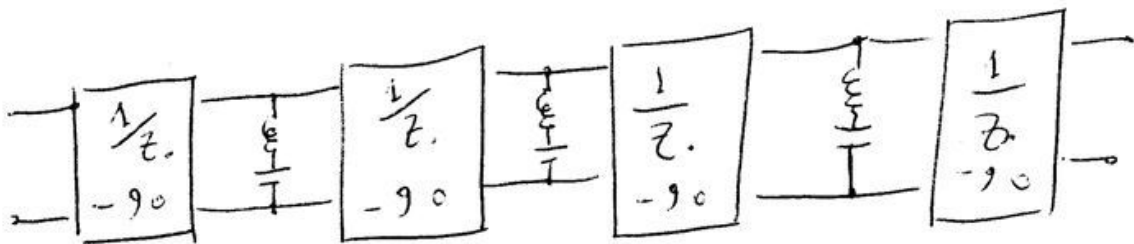
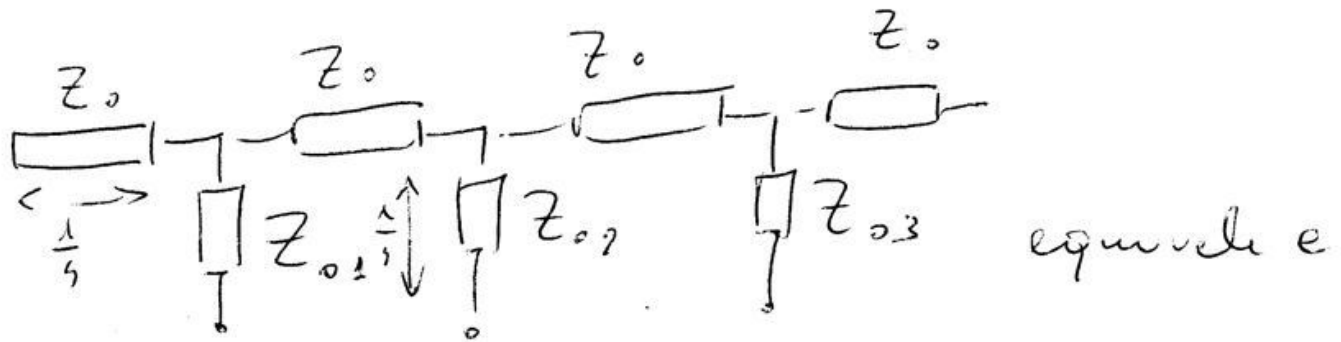
$$L_m = \frac{Z_{om} Q}{2C} = \frac{Z_{om}}{2\omega_0} \frac{\omega_0 Q}{C} = \frac{\pi}{4} \frac{Z_{om}}{\omega_0}$$

(perché $\beta_0 C = \frac{\pi}{2}$)

$$C_m = \frac{1}{L_m \omega_0^2} = \frac{4}{\pi \omega_0 Z_{om}}$$

Quando una linea $\frac{\lambda}{4}$ aperta è effettivamente
 un circuito equivalente come dove $L_n = Z_{0n} \frac{\pi}{4} \frac{1}{\omega_0}$

Ad esempio un circuito del tipo:

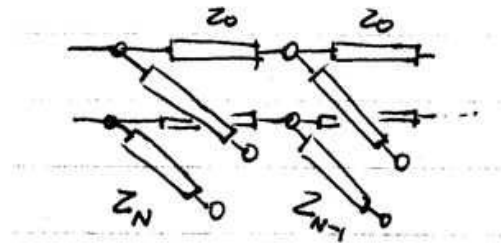


devo creare questo prototipo con gli elementi
 tutti uguali dopo aver scelto Z_{0n} degli stub
 in base ai valori che ho ottenuto per le induttanze

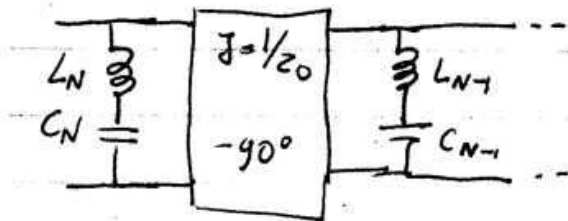
utilizzando $L_n = Z_{0n} \frac{\pi}{4} \frac{1}{\omega_0}$ i termini

presenti che i valori di L_n normalizzati rispetto
 fanno del prototipo con tutti gli elementi
 uguali.

Consideriamo allora il circuito in figura, con tutte le linee lunghe $\lambda/4$ (alla frequenza centrale)



È equivalente a



ovvero un filtro elimina-banda (che invece passa banda usando stub in corto circuito).

A partire dai coefficienti del prototipo LC si ha immediatamente

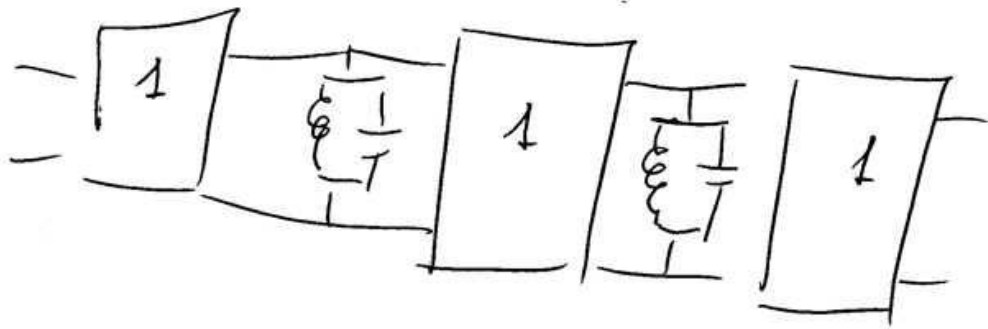
$$L_n = \frac{Z_0}{\omega_0 g_n \Delta} \Rightarrow Z_{on} = \frac{4Z_0}{\pi g_n \Delta}$$

mentre per un passa-banda $Z_{on} = \frac{\pi Z_0 \Delta}{4 g_n}$

Anche qui Z_{on} non può essere troppo grande, per cui sono realizzabili ^{solo} filtri elimina-banda con Δ elevato o passa-banda con Δ piccolo

Possiamo realizzare un filtro passa banda a stub utilizzando degli stub $\frac{\lambda}{2}$ di impedenza caratteristica opportuna.

Il protocollo da utilizzare è quello con tutti gli elementi uguali e connettimenti paralleli:



Per uno stub in parallelo risulta:

$$Y_{IN} = jY_0 \tan \beta l$$

$$\beta l = \beta_0 l + (\beta - \beta_0) l = \bar{\pi} + (\beta - \beta_0) l$$

$$Y_{IN} = jY_0 \tan [\bar{\pi} + (\beta - \beta_0) l] =$$

$$= jY_0 \tan [(\beta - \beta_0) l] \approx jY_0 (\beta - \beta_0) l$$

$$= jY_0 \frac{\omega - \omega_0}{\omega_0} \cdot \left(\frac{\omega_0 l}{c} \right)$$

$$= jY_0 \frac{\omega - \omega_0}{\omega_0} \cdot \pi$$

Per un circuito equivalente parallelo si ha:

$$Y = jC(\omega - \omega_0)$$

$$\Rightarrow C_m = \frac{\pi Y_{om}}{\omega_0}$$

$$C_m = \frac{\pi Y_{om}}{\omega_0 l}$$

$$\frac{f_m}{\Delta} = \frac{\omega_0 C_m}{Y_0} = \frac{\omega_0 \pi \cdot Y_{om}}{2\omega_0 Y_0} = \frac{\pi}{2} \frac{Y_{om}}{Y_0}$$

$$\Rightarrow Y_{om} = \frac{2 f_m Y_0}{\pi \Delta} \quad | \quad Z_{om} = \frac{\pi \Delta Z_0}{2 f_m}$$